

Все расчеты проведены по программе SHELXTL PLUS [6] (версия PC). Координаты атомов даны в табл. 2.

4,9-Ди(2-гидроксиэтил)-5,10-дифтор-1,2,3,4,6,7,8,9-октагидробензо[1,2-*b*; 5,4-*b*]ди-1,4-тиазин-1,1,6,6-тетраоксид (III). К раствору 3,6 ммоль соединения I в 15 мл ДМФА при 50 °С добавляют 10 ммоль 2-аминоэтанола в 5 мл ДМФА. Перемешивают 5 ч при температуре 50..55 °С. Удаляют растворитель при пониженном давлении, оставшуюся массу выливают в эфир, промывают эфиrom, порошок желтого цвета перекристаллизовывают из этанола. Получают 1,35 г (выход 90%) соединения III с $T_{\text{пл}}$ 300 °С (этанол). ИК спектр: 1120, 1325 см⁻¹ (νSO_2). Спектр ПМР (ДМФА-D₆): 3,49..3,88 м. д. сл. м (NCH₂CH₂SO₂, NCH₂CH₂O). Спектр ЯМР ¹³C, м. д.: 126,47 (C³), 141,94 (C²), 143,31 (C¹), 57,47 (C⁷), 60,72 (C⁸), 50,38 (C⁵), 48,76 (C⁶) (Нумерация атомов С отличается от рекомендованной правилами ИЮПАК и совпадает с приведенной на рисунке.). Спектр ЯМР ¹⁹F (CCl₃F) м. д.: -126,17 м. д. сл. м. Масс-спектр, m/e : 412 [M]⁺. Найдено, %: C 40,47; H 4,39; F 9,21; N 6,79; S 15,00. C₁₄H₁₈F₂N₂O₄S₂. Вычислено, %: C 40,57; H 4,29; F 9,46; N 6,52; S 14,61.

4,9-Ди(2-гидроксиэтил)-5,10-дифтор-1,2,3,4,6,7,8,9-октагидробензо [1,2-*b*; 5,4-*b*]ди-1,4-тиазин-1,6-диоксид IV. Соединение получено по методике, описанной выше. Выход 30% (0,4 г), $T_{\text{пл}}$ 260 °С (этанол). ИК спектр: 1050 см⁻¹ (νSO). Спектр ПМР (ДМФА-D₆): 3,24..3,70 м. д. сл. м (NCH₂CH₂SO, NCH₂CH₂O). Масс-спектр, m/e : 380 [M]⁺. Найдено, %: C 43,61; H 4,69; F 9,94; N 7,05; S 16,21. C₁₄H₁₈F₂N₂O₄S₂. Вычислено, %: C 44,20; H 4,77; F 9,99; N 7,36; S 16,82.

Работа выполнена при поддержке Российского фонда фундаментальных исследований (проект № 96-03-33264).

СПИСОК ЛИТЕРАТУРЫ

1. Реакционная способность полифторарomaticких соединений / Под. ред. Г. Г. Якобсона. — Новосибирск: Наука, СО. — 1983. — С. 17.
2. Исаакова Н. // Соединения фтора. Синтез и применение. — М.: Мир, 1990. — С. 306.
3. Амосова С. В., Гостевская В. И., Гаврилова Г. М., Нестеров В. Н., Стручков Ю. Т. // Изв. АН. Сер. хим. — 1996. — № 2. — С. 430.
4. Амосова С. В., Гостевская В. И., Гаврилова Г. М., Афонин А. В., Горяшинова Д.-С. Д. // ЖОрХ. — 1993. — Т. 29. — С. 2416.
5. Allen F. H., Kennard O., Watson D. G., Brammer L., Orpen A. G., Taylor R. // J. Chem. Soc. Perkin Trans. II. — 1987. — N 12. — P. S1.
6. Robinson and Sheldrick G. M. // Crystallographic computing — techniques and new technologies. — Oxford Univ. Press: Oxford, 1988. — P. 366.

Иркутский институт органической химии
СО РАН, Иркутск 664033

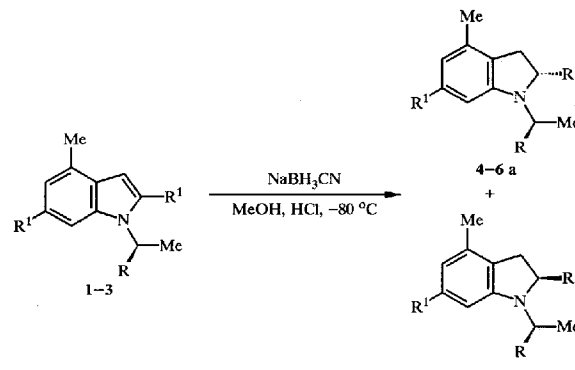
Поступило в редакцию 05.06.96

И. В. Трушков, А. В. Карчава, М. А. Юровская

СТЕРЕОСЕЛЕКТИВНОСТЬ ВОССТАНОВЛЕНИЯ ХИРАЛЬНЫХ ИНДОЛОВ В ИНДОЛИНЫ

Восстановление 2-алкилиндолов, содержащих хиальный заместитель при атоме азота, цианборгидридом натрия в кислой среде при -80 °С сопровождается образованием индолинов с *S*-конфигурацией нового хиального центра в положении 2. Квантово-химический расчет методом AM1 показано, что мажорный диастереомер является более термодинамически стабильным. Однако высокая диастереоселективность процесса восстановления может быть объяснена только с учетом относительной стабильности различных конформаций промежуточных индолиниевых катионов, приводящих к разным диастереомерам.

Недавно мы разработали новый метод синтеза 2-алкилиндолов, содержащих хиальный заместитель при атоме азота и показали принципиальную возможность стереоселективного восстановления полученных индолов в индолины [1]. Наше дальнейшее исследование связано с изучением влияния стерических факторов на диастереоселективность восстановления таких индолов. В качестве моделей для изучения влияния характера заместителей на стереоселективность процесса восстановления мы выбрали индолы 1—3:



1, 4 R = Ph, R¹ = Me; 2, 5 R = Ph, R¹ = Et; 3, 6 R = CH₂Ph, R¹ = Me

При выборе моделей мы руководствовались соображением, что на диастереоселективность восстановления таких индолов влияет окружение как хиального, так и прохиального центров. Индолы 1—3 были получены трансформацией солей 3-нитропиридиния под действием соответствующих ацетониминов аналогично описанному ранее [1]. С целью экономии оптически активных первичных аминов реакцию с солью 3-нитропиридиния проводили в присутствии гидрохлорида соответствующего амина для подавления процессов переаминирования, приводящих к образованию 1-метилиндолов [1]. Известно, что для оценки асимметрической индукции не требуется энантиомерно чистый субстрат, поскольку современные аналитические методы (например, спектроскопия ЯМР) позволяет опреде-

лять соотношение диастереомерных рацематов $[RR] + [SS]$ / $[RS] + [SR]$ [2]. По этой причине индол 3 был использован нами в рацемическом виде. Ранее было установлено, что максимальная диастероселективность при восстановлении индола (*S*)-1 наблюдается при использовании комплексных гидридов бора, причем наилучший результат (~80% диастереомерного избытка) дает применение цианборгидрида натрия в метаноле, насыщенном хлористым водородом при -80°C [1]. Учитывая это, мы выбрали именно данные условия для восстановления модельных индолов 1–3.

Соотношение диастереомеров, образующихся при восстановлении индолов 1–3, устанавливали на основании спектров ПМР по соотношению интегральных интенсивностей сигналов протона в положении 2 индолина. В спектре ПМР смеси индолинов (*2S,1'S*)-4 и (*2R,1'S*)-4, образующихся при восстановлении индола (*S*)-1, наблюдается двойной набор практически всех сигналов алифатических протонов. Для мажорного изомера (*2S,1'S*)-4 сигнал 2-Н проявляется при 3,775 м. д., а сигнал того же протона мажорного изомера (*2R,1'S*)-4 — при 3,974 м. д. ($\Delta\delta$ 0,2 м. д.). Конфигурация нового хирального центра в индолине (*2S,1'S*)-4 была установлена ранее [1]. Для предварительного определения конфигурации образующегося хирального центра в индолинах, полученных при восстановлении индолов 2 и 3, мы руководствовались допущением, что в случае диастереомеров, отличающихся конфигурацией одного хирального центра, относительное расположение сигналов протонов при другом, неизменном, хиральном центре остается постоянным. Условия восстановления и соотношение диастереомеров, полученных при восстановлении индолов 1–3, приведены в табл. 1.

Полученные экспериментальные данные выдвигают несколько важных вопросов, в первую очередь — что является причиной преимущественного (исключительного) образования (*2S,1'S*)-диастереомера замещенного индолина при восстановлении (*S*)-N-фенил(бензил)этил-2-R-индола?

Для ответа на этот вопрос нужно знать механизм реакции и ключевые особенности той стадии, на которой происходит взаимодействие атома водорода восстанавливающего агента с атомом С₍₂₎ индола, отвечающие за дискриминацию двух подходов реагента по отношению к плоскости индолинового кольца. В принципе ионное восстановление кратных связей A=B [3] может идти как согласованно (с одновременным образованием связей A—H и B—H), так и постадийно. Это может быть наглядно представлено с помощью диаграммы Мор О'Феррала—Дженкса [4, 5] (рис. 1), на которой по горизонтальной оси отложена степень образования связи A—H между электрон-обогащенным атомом кратной связи и протоном кислотной составляющей восстановительной системы, а по вертикальной оси — степень образования связи B—H между электрон-обедненным атомом кратной связи и гидрид-ионом из восстановителя. На этом рисунке кривая 1 представляет постадийный механизм, первой стадией которого является протонирование

Таблица 1

Условия восстановления и соотношение диастереомеров, полученных при восстановлении индолов 1–3

Индол	Соотношение индол / NaBH ₃ CN	Время восстановления, ч	Соотношение диастереомеров (<i>2S,1'S</i>) : (<i>2R,1'S</i>)	Выход, %
(<i>S</i>)-1	1 : 2	1	9 : 1	88
(<i>S</i>)-2	1 : 6	3,5	99 : 1	92
	1 : 5	4	3 : 1	70*
(\pm)-3	1 : 7	6,5	99 : 1	72

* Восстановление проводили при 22°C .

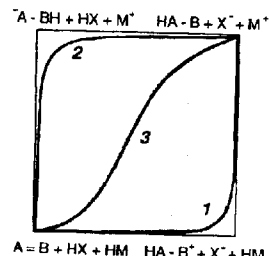
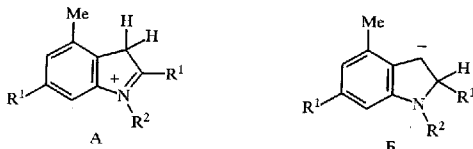


Рис. 1. Диаграмма Мор О'Феррала—Дженкса для процессов ионного гидрирования кратной связи A=B

электрон-обогащенного конца кратной связи. Постадийный механизм с первоначальным взаимодействием гидрид-иона с электрон-обедненным концом кратной связи и последующим протонированием образовавшегося аниона A—BH описывается кривой 2. Согласованный механизм с одновременным образованием обеих связей (возможно, с определенной степенью асинхронности) показан кривой 3.

Механизм реакции зависит от относительной стабильности анионного и катионного интермедиатов. Если процесс переноса протона от HX к A=B намного экзотермичнее, чем перенос гидрид-иона от HM, реакция идет постадийно через катионный интермедиат (кривая 1 на рис. 1). Если справедливо обратное, реакция идет через анионный интермедиат (кривая 2 на рис. 1). Если же тепловые эффекты этих двух процессов близки, реакция идет по согласованному механизму (кривая 3 на рис. 1). При этом положение переходного состояния зависит также от относительной энергии катионного и анионного интермедиатов, а кроме того — от экзотермичности реакции. С увеличением экзотермичности процесса переходное состояние, согласно постулату Хэммонда [6], становится более реагентоподобным. Кроме того, оно имеет некоторый карбокатионный характер, если энергия промежуточного состояния $[\text{HA} - \text{B}^+ + \text{X}^- + \text{HM}]$ ниже, чем энергия промежуточного состояния $[\text{A} - \text{BH} + \text{HX} + \text{M}^+]$, и некоторый анионный характер в противоположном случае (обратная стабильность этих состояний). С увеличением разницы в энергиях этих двух состояний переходное состояние реакции все больше сдвигается в сторону более стабильного из них (правило Тортона [7]). Если эта разница достаточно велика, происходит смена механизма реакции от согласованного к постадийному. Для процесса ионного восстановления индолов 1–3 указанные состояния представляют собой структуры А и Б соответственно.



Согласно квантово-химическим расчетам, структура А намного стабильнее, чем структура Б. Это согласуется и с экспериментальными данными: производные индола легко вступают в реакции электрофильного замещения, а реакции ароматического нуклеофильного замещения в случае неактивированных индолов при обычных реакционных условиях не могут

Таблица 2

Диэдрические углы $H(20)C(5)N(1)C(2)$ и теплоты образования различных конформеров N - α -фенилэтил-2-метилиндолина с *син*- и *анти*-расположением заместителей при атомах $N(1)$ и $C(2)$

(2S,1'S)				(2R,1'S)			
<i>анти</i> -		<i>син</i> -		<i>анти</i> -		<i>син</i> -	
Θ	$\Delta E_{0,0}^f$	Θ	$\Delta E_{0,0}^f$	Θ	$\Delta E_{0,0}^f$	Θ	$\Delta E_{0,0}^f$
-49	55,0	-37	57,4	-17	56,8	-25	58,3
63	57,7	68	59,1	51	55,9	47	56,9
167	55,9	177	57,2	179	55,5	168	56,8

В индолинах 7—9 заместитель при атоме азота может находиться как в *син*-, так и *анти*-положении по отношению к заместителю при атоме $C(2)$ (рис. 2).

Мы провели расчеты всех возможных конформаций $(2S,1'S)$ - и $(2R,1'S)$ -диастереомеров N - α -фенилэтил-2-метилиндолина 7 с *син*- и *анти*-расположением этих двух заместителей. Найдено, что конформеры с *анти*-ориентацией заместителей при атоме $C(2)$ и при атоме азота во всех случаях заметно более стабильны, чем их *син*-аналоги (табл. 2). Аналогичные данные были получены и для индолинов 8, 9. Поэтому далее обсуждаются только конформеры соединений 7—9 с *анти*-расположением алкильных групп при атомах $N(1)$ и $C(2)$.

Из трех возможных ротамеров $(2S,1'S)$ - N - α -фенилэтил-2-метилиндолина 7а самым стабильным является конформер В с фенильной группой N -фенилэтильного заместителя, ориентированной примерно перпендикулярно плоскости индолинового кольца (рис. 3). Такая ориентация минимизирует стерическое отталкивание между самыми объемными заместителями, что хорошо видно на рис. 4. Действительно, в конформере В имеется только одно серьезное стерическое отталкивание между двумя метильными группами; в конформере Г — тоже одно отталкивание, но между более объемными арильными фрагментами; в конформере же Д

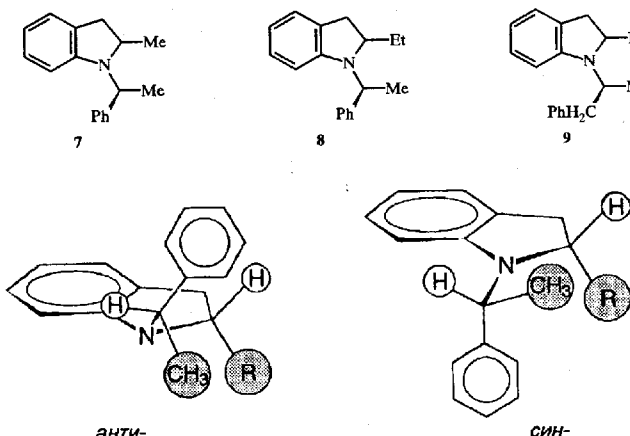


Рис. 2. Изомеры $(2S,1'S)$ - N - α -фенилэтил-2- R -индолина с *анти*- и *син*-ориентацией α -фенилэтильной группы по отношению к заместителю при атоме $C(2)$

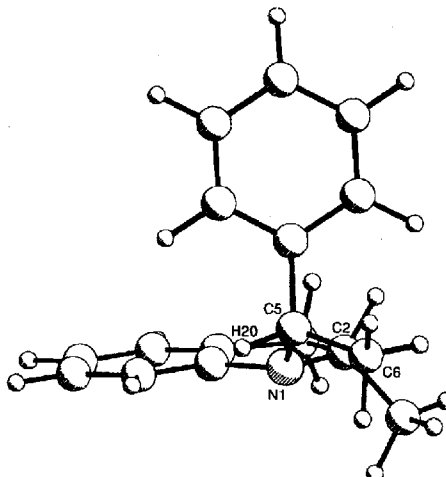


Рис. 3. Наиболее стабильный ротамер $(2S,1'S)$ - N - α -фенилэтил-2-метилиндолина 7а

присутствует сразу два нежелательных стерических взаимодействия, что обусловливает заметно большую его энергию по сравнению с В и Г.

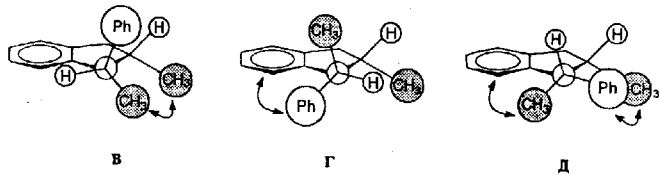


Рис. 4. Ротамеры $(2S,1'S)$ - N - α -фенилэтил-2-метилиндолина 7а

Подобная ситуация наблюдается и для $(2R,1'S)$ -диастереомера N - α -фенилэтил-2-метилиндолина 7б. Здесь также наиболее стабильным является ротамер с перпендикулярной ориентацией фенильной группы заместителя при азоте и индолинового кольца (рис. 5).

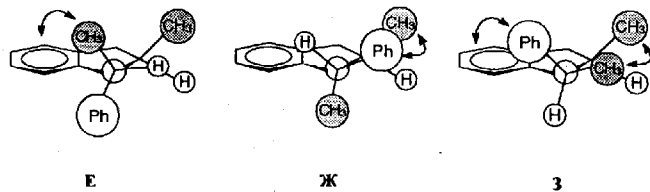


Рис. 5. Ротамеры $(2S,1'S)$ - N - α -фенилэтил-2-метилиндолина 7б

Однако в ротамере Е вместо отталкивания между двумя метильными группами наблюдается взаимодействие метильной группы фенилэтильного заместителя с арильным фрагментом индолинового кольца, имеющее более высокую энергию стерического напряжения. Это обусловливает более высокую энергию самого стабильного ротамера $(2R,1'S)$ - N - α -фенилэтил-2-метилиндолина по сравнению с $(2S,1'S)$ -диастереомером. Используя данные табл. 2, мы рассчитали равновесное соотношение $(2S,1'S)$ - и $(2R,1'S)$ -диастереомеров N - α -фенилэтил-2-метилиндолина при различных температурах. При -80°C это соотношение равно 73 : 27 и хорошо согласуется с экспериментальными данными по значительному предпочтению образования $(2S,1'S)$ -диастереомера. Таким образом, квантово-химические расчеты методом AM1 показывают, что $(2S,1'S)$ -диастереомер N - α -фенилэтил-2-метилиндолина имеет более высокую стабильность, чем $(2R,1'S)$ -изомер, что позволяет объяснить преимущественное образование $(2S,1'S)$ -диастереомера при ионном восстановлении N - α -фенилэтил-2-метилиндола.

Аналогичные расчеты были проведены также для индолинов 8 и 9. В табл. 3 даны рассчитанные энергии образования различных конформеров этих соединений. Анализ полученных данных показывает, что порядок относительной стабильности ротамеров в этих индолинах такой же, как и в индолине 7. Увеличение объема алкильной группы в наиболее стабильном конформере $(2S,1'S)$ -диастереомера индолина 8 ведет к большей энергии стерического отталкивания между заместителями (см. ротамер В). Этот эффект отсутствует в наиболее стабильном конформере $(2R,1'S)$ -диастереомера индолина 8. В результате рассчитанное равновесное соотношение стабильности $(2S,1'S)$ / $(2R,1'S)$ диастереомеров оказывается несколько ниже (63 : 37), чем для индолина 7. Переход от N - α -фенилэтильного заместителя

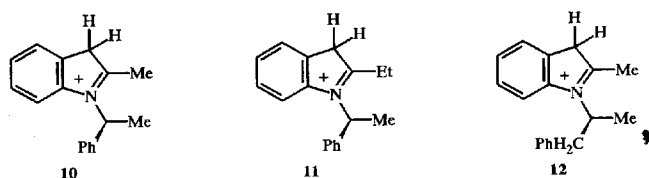
Таблица 3
Диэдриальные углы $\text{H}_{(20)}\text{C}(5)\text{N}(1)\text{C}(2)$ и теплоты образования наиболее стабильных ротамеров по связи $\text{N}(1)\text{C}(2)$ $(2S,1'S)$ - и $(2R,1'S)$ -диастереомеров индолинов 8 и 9

Индолин	$(2S,1'S)$		$(2R,1'S)$	
	$\Theta_{\text{H}(20)\text{C}(5)\text{N}(1)\text{C}(2)}$	$\Delta E_{0,0}^{\ddagger}$	$\Theta_{\text{H}(20)\text{C}(5)\text{N}(1)\text{C}(2)}$	$\Delta E_{0,0}^{\ddagger}$
8	-49	48,9	-52	51,2
	68	51,7	58	49,7
	169	49,7	178	49,3
9	-55	47,1	-46	48,7
	43	49,4	54	47,4
	159	48,3	167	48,6

при атоме азота к α -бензилэтильной группе (индолин 9) сопровождается заметным уменьшением энергии стерического отталкивания в таких конформациях молекулы, где фенильная группа бензильного фрагмента максимально удалена от индолинового фрагмента. Это дает возможность поворота заместителя при атоме азота вокруг связи $\text{C}-\text{N}$, уменьшающего отталкивание между двумя метильными группами (конформер В для $(2S,1'S)$ -диастереомера) или метильной и арильной группой (конформер Е для $(2R,1'S)$ -диастереомера). Сравнение диэдриальных углов $\text{H}_{(20)}\text{C}(5)\text{N}(1)\text{C}(2)$ в табл. 2 и 3 демонстрирует важность этого поворота. Несколько больший эффект заместителя наблюдается для $(2R,1'S)$ -диастереомера, что, как и в случае индолина 8, ведет к меньшему значению рассчитанного равновесного соотношения стабильности $(2S,1'S)$ / $(2R,1'S)$ диастереомеров (64 : 36). Тем не менее, для всех трех индолинов 7—9 квантово-химические расчеты показывают большую термодинамическую стабильность $(2S,1'S)$ -диастереомера по сравнению с $(2R,1'S)$ -изомером, что позволяет сделать вывод о значительном влиянии термодинамического фактора на диастереоселективность ионного восстановления замещенных индолов типа 1—3.

В то же время рассчитанное соотношение $(2S,1'S)$ / $(2R,1'S)$ диастереомеров во всех случаях оказалось заметно ниже, чем экспериментально определенная диастереоселективность восстановления индолов 1—3 в соответствующие индолины 4—6. Это может быть объяснено наличием специфических взаимодействий в переходном состоянии реакции (отсутствующих в индолинах) при кинетическом контроле диастереоселективности восстановления. Экспериментальные данные по влиянию температуры на диастереоселективность восстановления индола 2 могут служить определенной поддержкой такого предположения. Действительно, при 22°C диастереоселективность восстановления составляла лишь 3 : 1, что соответствует разнице в энергиях активации для двух подходов боргидридного агента к плоскости индолинового кольца в 0,4 ккал/моль и близко к величинам, полученным при расчете относительной стабильности диастереомеров образующегося индолина. Однако при -80°C была найдена полная (>99 : 1) диастереоселективность восстановления, что соответствует разнице в энергии активации для двух конкурирующих процессов более, чем в 2 ккал/моль. Такие результаты получаются обычно в том случае, если вращение хирального заместителя свободно при одной температуре и заторможено (хотя бы частично) при другой. В первом случае поведение системы подчиняется принципу Кертинга—Гамметта [9], во втором — отклоняется от него. Тогда при 22°C диастереоселективность определяется относительными энергиями переходных состояний, ведущих к $(2S,1'S)$ - и $(2R,1'S)$ -диастереомерам, соответственно, а при -80°C — относительными энергиями про-*S* и про-*R* конформаций промежуточных индолениниевых

катионов. Для проверки этого предположения мы провели расчеты различных конформаций индолениниевых катионов 10–12, а также поверхности потенциальной энергии при вращении хирального заместителя при атоме азота вокруг связи C—N в катионах 10–12 и в образовавшихся индолинах 7–9.



В качестве примера на рис. 6 и 7 приведены поверхности потенциальной энергии индолина 7 и катиона 11.

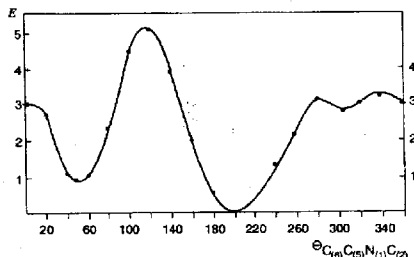


Рис. 6. Поверхность потенциальной энергии вращения α -фенилэтильного заместителя вокруг связи C—N в индолине 7

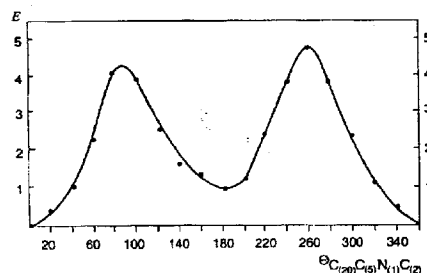


Рис. 7. Поверхность потенциальной энергии вращения α -фенилэтильного заместителя вокруг связи C—N в индолениниевом катионе 11

Полученные данные подтверждают, что при комнатной температуре барьер вращения хирального заместителя при атоме азота (3,3...4,2 ккал/моль) достаточно мал, что обеспечивает его свободное вращение, а следовательно, возможность взаимодействия боргидридного реагента со всеми конформациями индолениниевого катиона. В результате

диастереоселективность реакции при комнатной температуре определяется относительными энергиями всех возможных конформаций переходного состояния реакции, ведущих как к $(2S,1'S)$ -, так и к $(2R,1'S)$ -диастереомерам индолина. Однако при -80°C это вращение является достаточно заторможенным, что ведет к тому, что диастереоселективность восстановления определяется относительной стабильностью про-*S* и про-*R* конформаций индолениниевого катиона, а не соответствующими энергиями переходных состояний. При -80°C рассчитанное соотношение этих конформаций для катиона 10 равно 95 : 5, для 11 — 88 : 12, а для 12 — 91 : 9. При учете противоиона увеличивается как барьер вращения, так и разница в энергиях про-*S* и про-*R* конформаций индолениниевых катионов 10–12, что обусловлено большей энергией взаимодействия противоиона с метильной группой заместителя при атоме азота по сравнению с фенильной группой (рис. 8).

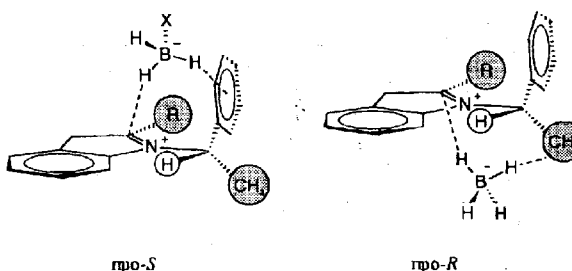


Рис. 8. Про-*S* и про-*R* конформации ионной пары боргидрида с наиболее стабильным ротамером (*S*)-N- α -фенилэтил-2-Р-индолениниевого катиона

Таким образом, при 22°C диастереоселективность восстановления определяется энергиями соответствующих переходных состояний реакции, а при -80°C — относительными энергиями про-*S* и про-*R* конформаций промежуточно образующегося индолениниевого катиона. Рассчитанное соотношение этих конформаций достаточно хорошо согласуется с экспериментальными данными. Влияние других заместителей, растворителя и ряда других факторов в настоящее время находятся в процессе изучения.

ЭКСПЕРИМЕНТАЛЬНАЯ ЧАСТЬ

Спектры ПМР регистрировали на приборе Varian VXR-400 для растворов в CDCl_3 относительно внутреннего стандарта ТМС. Удельное вращение измеряли на поляриметре Jasco DIP-360. Ход реакций и чистоту полученных соединений контролировали методом ТСХ на пластинах Silufol в системе бензол—гексан, 1 : 9.

Использовался (*S*)- α -фенилэтиламин оптической чистоты 96,5%, $[\alpha]_D = -39$ (без растворителя). Методика получения ацетонимина (*S*)- α -фенилэтиламина была описана нами ранее [1], ацетонимин (*t*)- α -бензилэтиламина был получен аналогично. Во избежание гидролиза и прочих превращений нестабильные ацетонимины использовались в реакции с солями 3-нитропиридиния без какой-либо очистки.

Квантово-химические расчеты методом AM1 выполняли с помощью программного пакета MOPAC 7.0 для персонального компьютера. Поскольку расчеты полуэмпирическими методами часто приводят к получению нескольких конфигурационных минимумов для одной конформации молекулы, глобальный минимум для каждой конформации определялся на основе не менее трех расчетов при разных исходных геометриях. Все расчеты выполняли с использованием ключевого слова PRECISE. Расчет поверхности потенциальной энергии системы при вращении заместителя у атома азота вокруг связи C—N выполняли варьированием соответствую-

щего диэдрального угла, используя оптимизированные геометрии каждой конформации и выбирая наиболее стабильную из полученных конфигураций молекулы при данном диэдральном угле

(S)-1-(1-Метилбензил)-2,4,6-триметилиндидол (1). Раствор изопропиллиден(1-метилбензил)амина, полученный из (S)- α -фенилэтиламина (0,725 г; 6 ммоль) в 5 мл ДМФА, добавляют постепенно к раствору индола 1,2,4,6-тетраметил-3-нитропиридина (0,924 г, 3 ммоль) и гидрохлорида (S)- α -фенилэтиламина (2,81 г, 18 ммоль) в 15 мл ДМФА. Реакционную смесь выдерживают в течение 48 ч, растворитель упаривают в вакууме до 1/3 начального объема, остаток разбавляют 100 мл воды и экстрагируют гептаном (3×50 мл), экстракт промывают 10% раствором соляной кислоты, затем несколько раз водой и насыщенным раствором хлорида натрия. Остаток после упаривания растворителя хроматографируют на колонке с силикагелем, используя в качестве элюента смесь бензол—гексан, 3 : 7. Получают 0,6 г (75%) индола 7 в виде светло-желтого масла. Спектр ПМР: 1,92 (3Н, д, $J = 7$ Гц, CH_3CH_2); 2,31 (3Н, с, 2-CH₃); 2,47 (3Н, с, 6-CH₃); 5,72 (1Н, к, $J = 7$ Гц, CH_3CH_2); 6,24 (1Н, уш. с, 3-Н); 6,67 (1Н, уш. с, 5-Н); 6,70 (1Н, уш. с, 7-Н); 7,13...7,35 м. д. (SH, Ph). Найдено, %: С 86,65; Н 8,01; N 5,34. $\text{C}_{19}\text{H}_{21}\text{N}$. Вычислено, %: С 86,70; Н 7,98; N 5,32. $[\alpha]_D^{25} +8,4$ (с 0,81, гексан).

Из водной фазы, оставшейся после экстракции, может быть выделен α -фенилэтиламин.

Аналогично были получены:

(S)-1-(1-Метилбензил)-2,6-диэтил-4-метилиндидол (2), светло-желтое масло. Выход 70%. Спектр ПМР: 1,27 (3Н, т, $J = 7,4$ Гц, CH_3CH_2); 1,45 (3Н, т, $J = 7,5$ Гц, CH_3CH_2); 2,04 (3Н, д, CH_3CH_2); 2,62 (3Н, с, 4-CH₃); 2,70 (2Н, к, CH_2CH_3); 2,85 (2Н, к, CH_2CH_3); 5,84 (1Н, к, $J = 7,1$ Гц, CH_3CH_2); 6,41 (1Н, уш. с, 3-Н); 6,77 (1Н, уш. с, 5-Н); 6,83 (1Н, уш. с, 7-Н); 7,26...7,45 м. д. (5Н, м, C_6H_5). Найдено, %: С 86,66; Н 8,64; N 4,70. $\text{C}_{21}\text{H}_{25}\text{N}$. Вычислено, %: С 86,59; Н 8,59; N 4,82. $[\alpha]_D^{25} -3,2$ (с 5,86, бензол).

(\pm)-1-(1-Этилбензил)-2,4,6-триметилиндидол (3), светло-желтое масло. Выход 65%. Спектр ПМР (CDCl_3): 1,34 (3Н, м, CH_3CH); 2,12 (3Н, с, 2-CH₃); 2,60 (3Н, с, 4-CH₃); 2,64 (3Н, с, 6-CH₃); 3,18 и 3,42 (2Н, 2м, $\text{CH}_2\text{CH}_2\text{I}$); 4,41 (1Н, м, CH_2N); 6,32 (1Н, уш. с, 3-Н); 6,98...7,42 м. д. (7Н, м, C_6H_5). Найдено, %: С 86,71; Н 8,39; N 4,90. $\text{C}_{20}\text{H}_{23}\text{N}$. Вычислено, %: С 86,64; Н 8,31; N 5,05.

Восстановление индолинов в индолины (общая методика). Раствор 0,2 моль индола в 5 мл метанола, насыщенного хлористым водородом, охлаждают до -90°C и при интенсивном перемешивании, поддерживая температуру -85 ... -75°C , выделяют порциями цианборгидрид натрия. Далее реакционную смесь перемешивают 1,5...2 ч при этой же температуре, нейтрализуют 2 н. раствором NaOH, экстрагируют бензолом, бензольные экстракти сушат Na_2SO_4 , растворитель упаривают при пониженном давлении. Хроматографированием на колонке с силикагелем, используя в качестве элюента систему бензол—гексан, 1 : 4, выделяют смеси диастереомерных индолинов. Соотношение диастереомеров определяют с использованием спектроскопии ЯМР и ВЭЖХ.

Авторы выражают благодарность Российскому фонду фундаментальных исследований за финансовую поддержку этих исследований (грант N 96-03-32157).

СПИСОК ЛИТЕРАТУРЫ

1. Karchava A. V., Yurovskaya M. A., Wagner T. R., Zyballov B. L., Bundet Yu. G. // Tetrahedron: Asymmetry. — 1995. — Vol. 6. — P. 2895.
2. Ноэради М. // Стереоселективный синтез. — М.: Мир, 1989. — С. 56.
3. Hudlicky C. Reductions in Organic Chemistry. — New York: Wiley, 1984. — 365 p.
4. More O'Ferrall R. A. // J. Chem. Soc. B. — 1970. — N 2. — P. 274.
5. Jencks W. P. // Chem. Rev. — 1985. — Vol. 85. — P. 511.
6. Hammond G. S. // J. Amer. Chem. Soc. — 1955. — Vol. 77. — P. 334.
7. Thornton E. R. // J. Amer. Chem. Soc. — 1967. — Vol. 89. — P. 2915.
8. Gribble G. W., Lord P. D., Skotnicki J., Dietz S. E., Eaton J. T., Johnson J. L. // J. Amer. Chem. Soc. — 1974. — Vol. 96. — P. 7812.
9. Seeman J. I. // Chem. Rev. — 1983. — Vol. 83. — P. 83.

Московский государственный университет
им. М. В. Ломоносова, Москва 119899

Поступило в редакцию 30.08.96

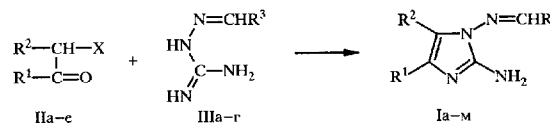
М. З. Кример, Ф. З. Макаев, Е. П. Стынгач,
А. Г. Корецкий, С. И. Погребной, А. И. Коучу

СИНТЕЗ ЗАМЕЩЕННЫХ 2-АМИНО-1-АРИЛИДЕНАМИНОИМИДАЗОЛОВ И 1-АРИЛИДЕНАМИНОИМИДАЗО[1,2-*a*]ИМИДАЗОЛОВ

Предложен новый способ получения 2-амино-1-арилidenаминоимидазолов. Реакцией последних с α -галогенкетонами в зависимости от условий синтезирован ряд производных 1-арилidenамино-3-ацилметил-2-иминоимидазолинов и 1-арилidenаминоимидазо[1,2-*a*]имидазолов.

В литературе имеются ограниченные сведения о получении 2-амино-1-арилidenаминоимидазолов (I) [1—3]. Известны лишь единичные примеры образования ряда этих соединений взаимодействием таких ароматических α -галогенкетонов (II), как фенацилбромид, его 4-метил-, 4-бром- и 4-хлорпроизводные, а также дезилхлорид, с ацетофенон- или бензальдегидгидразонами (III) [2, 3]. Реакции проводят при кипячении реагентов II и III, взятых в молярном соотношении 1 : 2, в этаноле или ацетоне с последующим выделением образующихся имидазолов I (способ А).

В настоящей работе рассмотрена возможность расширения области применения данной реакции. С этой целью в реакцию конденсации кроме указанных выше фенацилбромида, его 4-хлорпроизводного, дезилхлорида и бензальдегидгидразона были введены также 2,4-дихлор-, 4-фенил-, 4-метоксифенацилбромиды и 4-метокси-, 2,4-дихлор- и 3-нитробензальдегидгидразоны (см. схему).



Ia—m, Pa—д X = Br, R² = H, Ia, д, ж, л, Pa R¹ = Ph, Iб, з, м, IIб R¹ = 2,4-Cl₂C₆H₄, Ib, Пв R¹ = 4-PhC₆H₄, Ii, IIг R¹ = MeOC₆H₄; Ix, IIд R¹ = 4-ClC₆H₄; IIж X = Cl, R¹ = R² = Ph; Iа—г, IIIа R³ = Ph, IIд, е, IIIб R³ = MeOC₆H₄, Iж—к, IIIв R³ = 2,4-Cl₂C₆H₃, IIи, м, IIIг R³ = 3-NO₂C₆H₄.

Однако уже при проведении в описанных в литературе условиях (способ А) конденсации гидразона IIIа с бромметоном IIб наблюдалось сильное осмолнение реакционной массы и целевой имидазол Iб удалось выделить лишь с выходом 32%. Еще более сложно протекали в этих условиях реакции галогенкетонов IIа—с с гидразонами IIIб—г. Во всех случаях мы получили трудноразделяемые смеси продуктов, из которых с низкими выходами были выделены только имидазолы Iд—ж, л, а попытки выделить индивидуальные имидазолы Iа—к, м оказались безуспешными. Не привело к желаемому результату и варьирование условий конденсации (порядок и продолжительность добавления реагентов II и III, снижение температуры от 80° до 20°C).

В то же время нами обнаружено, что если в качестве конденсирующего агента применить едкий натр, то реакция, приводящая к образованию имидазолов I, IV—VI, становится основным процессом и не зависит от природы исходных соединений II и III. При этом лучшие выходы имидазолов